



Corso Luigi Einaudi, 55 - Torino

Appunti universitari

Tesi di laurea

Cartoleria e cancelleria

Stampa file e fotocopie

Print on demand

Rilegature

NUMERO: 1298

ANNO: 2014

A P P U N T I

STUDENTE: Piemontese

MATERIA: Meccanica dei Fluidi + Eserc., Prof.Camporeale

Il presente lavoro nasce dall'impegno dell'autore ed è distribuito in accordo con il Centro Appunti.

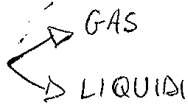
Tutti i diritti sono riservati. È vietata qualsiasi riproduzione, copia totale o parziale, dei contenuti inseriti nel presente volume, ivi inclusa la memorizzazione, rielaborazione, diffusione o distribuzione dei contenuti stessi mediante qualunque supporto magnetico o cartaceo, piattaforma tecnologica o rete telematica, senza previa autorizzazione scritta dell'autore.

ATTENZIONE: QUESTI APPUNTI SONO FATTI DA STUDENTIE NON SONO STATI VISIONATI DAL DOCENTE.
IL NOME DEL PROFESSORE, SERVE SOLO PER IDENTIFICARE IL CORSO.

MECCANICA dei FLUIDI

FLUIDO:

Corpo materiale ad alta mobilità



Comportamento del fluido: solentorica e velocità di deformazione vanno di pari passo



IPOTESI di CONTINUITA' del CORPO (minimo scala d'interesse: numero elevato di molecole)

↳ campo di esistenza per la validità delle leggi di studio.

↳ che abbia una scala di osservazione ragionevole

GAS: 10 μm

LIQUIDI: 1 μm (perché più densi)

DENSITA':

$$\rho = \lim_{\Delta V \rightarrow 0} \frac{\Delta M}{\Delta V}$$

$$\rho = \frac{dm}{dV} \quad [kg/m^3]$$

PESO SPECIFICO

$$\gamma = \rho \cdot g \quad \text{acc. di gravità} \quad [N/m^3]$$

EQ. di STATO:

↓
cambia de fluido e fluido

$$\rho = \rho(p, T)$$

↳ pressione ↳ Temperatura

DENSITA' dell' ACQUA | : se $p = 1 \text{ atm}$ $T \rightarrow [0^\circ < T < 40^\circ]$ $\Delta \rho = 0,08\%$

$$\rho \cong 1000 \text{ kg/m}^3$$

$$\gamma \cong 9800 \text{ N/m}^3$$

$$m = \rho V$$

[$dm = 0$ per ipotesi che $m = \text{cost}$]
(sempre [o quasi])

$$dm = \rho dV + V d\rho = 0$$

$$\rightarrow \bullet \frac{dV}{V} = - \frac{d\rho}{\rho}$$

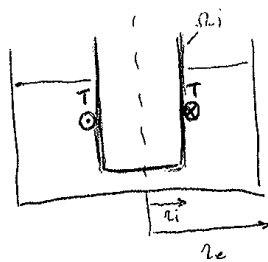
$$\bullet \frac{d\rho}{\rho^\nu} = \frac{d\rho}{\varepsilon}$$

VISCOSITA'

VISCOSIMETRO: 2 cilindri coassiali, all'interno dell'intercapedine c'è del fluido.
 Il cilindro più grande (esterno) è messo in rotazione a velocità ω_E . Dopo un certo tempo si mette in rotazione anche il cilindro interno con velocità ω_I ($\omega_E \neq \omega_I$)
 Con una coppia frenante si impone che il cilindro interno sia fermo $\omega_I = 0$.
 Si misura il valore della coppia frenante.

$$T = r_i \gamma \frac{\Delta u}{\Delta r}$$

↓
 forze trasmesse alla superficie interna



$$\Delta R = r_e - r_i$$

r_i = superficie interna

vale se $\left(\frac{\Delta R}{r_i} \ll 1 \right)$

l'intercapedine non deve essere troppo grande

$$\frac{T}{r_i} = \tau = \gamma \frac{\Delta u}{\Delta r}$$

viscosità dinamica [Ns/m²] [Pa·s]

$$\rightarrow \bullet \tau = \gamma \frac{du}{dr}$$

LEGGE di NEWTON
 (vale per fluidi Newtoniani)

$$-\frac{d\psi}{dt} = \frac{DD' - AA'}{dy} = \frac{u_D dt - u_A dt}{dy} = \frac{du}{dy} dt$$

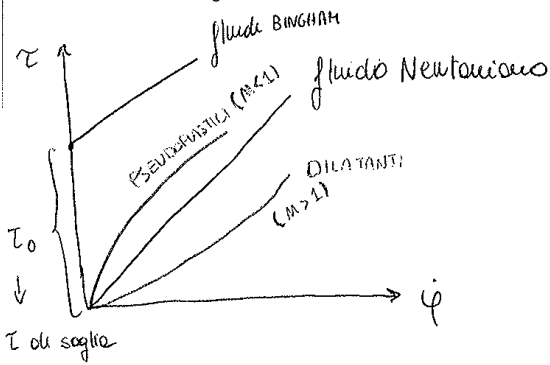
$$(u_D = u_A + \frac{du}{dy} dt)$$

$$\frac{du}{dy} = \left[\frac{d\psi}{dt} \right] = -\dot{\varphi}$$

$$\hookrightarrow \tau \propto \dot{\varphi}$$

Piano Reologico

$$\tau = \mu \cdot \dot{\varphi}^m$$

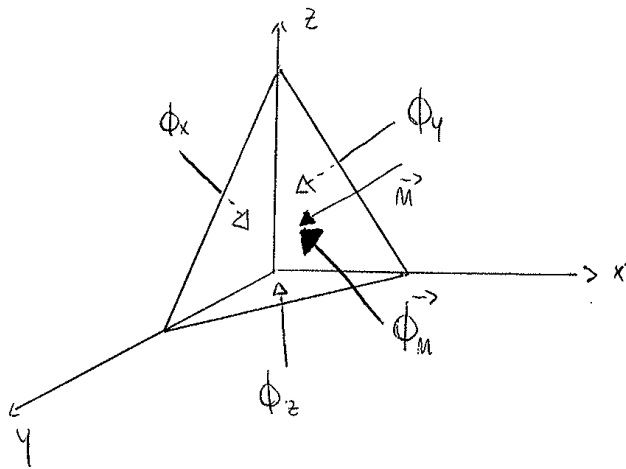


fluidi TIXOTROPICI $\tau \downarrow$ tempo
 fluidi REOPECTICI $\tau \uparrow$ tempo

FLUIDI VISCOELASTICI

$$\dot{\varphi} = \frac{\tau}{\eta} + \frac{\dot{\tau}}{G}$$

ϕ_m : sforzo unitario, cambia il valore della giacitura dell'asse su cui agisce, quindi il valore di \vec{m}



$$\left. \begin{aligned} (m^x) &\rightarrow \cos(m^x) < 0 && \text{angolo ottuso} \\ (m^y) &\rightarrow \text{" } (m^y) < 0 && \text{" } \\ (m^z) &\rightarrow \text{" } (m^z) < 0 && \text{" } \end{aligned} \right\} \text{coseni direttori}$$

$$\left\{ \begin{aligned} d\Omega_x &= -\cos(m^x) d\Omega && (\text{proiez. dell'asse } d\Omega \text{ su } x) \\ d\Omega_y &= -\cos(m^y) d\Omega && (\text{" } \text{" } \text{" } \text{" } \text{" } y) \\ d\Omega_z &= -\cos(m^z) d\Omega && (\text{" } \text{" } \text{" } \text{" } \text{" } z) \end{aligned} \right.$$

$$\sum \vec{F} = m \vec{a}$$

$$\vec{\phi}_m d\Omega + \vec{\phi}_x d\Omega_x + \vec{\phi}_y d\Omega_y + \vec{\phi}_z d\Omega_z + \gamma \underset{\sim 0}{dV} = \rho \underset{\sim 0}{dV} \vec{a}$$

(se $dV \rightarrow 0$) o ($dV \sim 0$ molto piccolo)

$$\vec{\phi}_m d\Omega = \vec{\phi}_x \cos(m^x) d\Omega + \vec{\phi}_y \cos(m^y) d\Omega + \vec{\phi}_z \cos(m^z) d\Omega$$

$$\vec{\phi}_x = \begin{pmatrix} \phi_{xx} \\ \phi_{xy} \\ \phi_{xz} \end{pmatrix} ; \quad \vec{\phi}_y = \begin{pmatrix} \phi_{yx} \\ \phi_{yy} \\ \phi_{yz} \end{pmatrix} ; \quad \vec{\phi}_z = \begin{pmatrix} \phi_{zx} \\ \phi_{zy} \\ \phi_{zz} \end{pmatrix}$$

Se $[\underline{\Phi}]$ è diagonale \forall sistema di riferimento

$\hookrightarrow \sigma_x = \sigma_y = \sigma_z = p$

$\hookrightarrow \frac{du}{dz} = 0$ dalla legge di Newton

- \hookrightarrow a) IDROSTATICA (velocità nulle) $\rightarrow \vec{u} = 0$
- \hookrightarrow b) FLUIDI PERFETTI $\rightarrow \gamma = 0 \rightarrow \tau = 0$

$$[\underline{\Phi}] = \begin{bmatrix} p & 0 & 0 \\ 0 & p & 0 \\ 0 & 0 & p \end{bmatrix} = pI \Rightarrow \underline{\Phi}_M = [\underline{\Phi}] \cdot \vec{M} = pI \cdot \vec{M} = p \vec{M}$$

IDROSTATICA

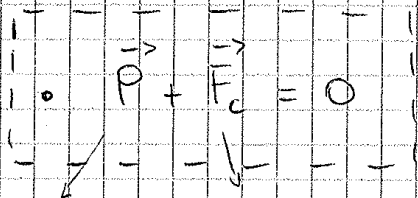
$\vec{u} = 0$

EQ. GLOBALE della STATICA

Forze di massa = $\int_V \rho \vec{F} dV = \gamma V = \vec{P}$

$\hookrightarrow F [N/kg] = [m/s^2]$

Forze di superficie = $\int_S \vec{d}_M dz \xrightarrow{(IDROSTATICA)} = \int_S \rho \vec{M} dz = \vec{F}_c$



forze volumiche
(forze peso)

forze di superficie o di contatto

$$\vec{P} + \vec{F}_c = 0$$

$$\int_V \rho \vec{F} dV + \int_{\partial V} p \cdot \vec{n} d\Omega = 0$$

(per conv. di \vec{n})
 \downarrow th. Gauss

$$\int_V \rho \vec{F} dV = \int_V \nabla p dV = 0$$

$$\int_V (\rho \vec{F} - \nabla p) dV = 0$$

Genericamente: $\rho \vec{F} = \nabla p$

$$\vec{F} = -\nabla z \cdot g$$

$$-\gamma \nabla(z) = \nabla p$$

$$\gamma = \rho \cdot g$$

$$\nabla \left(z + \frac{p}{\gamma} \right) = 0$$

$$z + \frac{p}{\gamma} = \text{cost}$$

LEGGE di STEVINO

Se volessi conoscere z del p.c.i.a.

$$\Rightarrow p(z) = 0$$

$$p_{atm} + \gamma (a - z) = 0$$

$$\Rightarrow z = \frac{p_{atm}}{\gamma} + a$$

$$\frac{p_{atm}}{\gamma} : \begin{array}{l} \xrightarrow{H_2O} 10,33 \text{ m} \\ \xrightarrow{Hg} 0,76 \text{ m} \end{array}$$

Definire pressione relativa di un liquido: $p^* = p - p_{atm}$

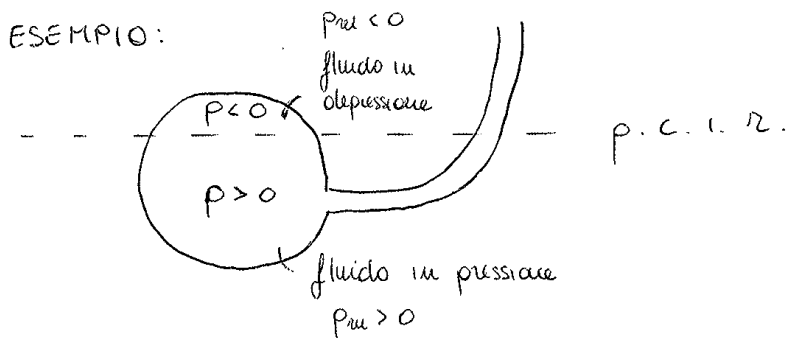
$$p^*(z) = p(z) - p_{atm} = \gamma (a - z)$$

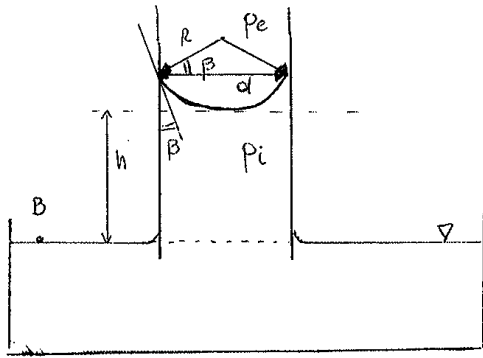
Se volessi conoscere z p.c.i.r. $\Rightarrow p^*(z) = 0$



$$z = a$$

(In questo caso p.c.i.r. coincide con pelo libero, ma non è sempre così!)





R : raggio di curvatura

$$d = 2R \cos \beta$$

$$L_0 R = \frac{d}{2 \cos \beta}$$

$\Delta p = p_i - p_e$ → poiché ho una sup. di interfaccia curva

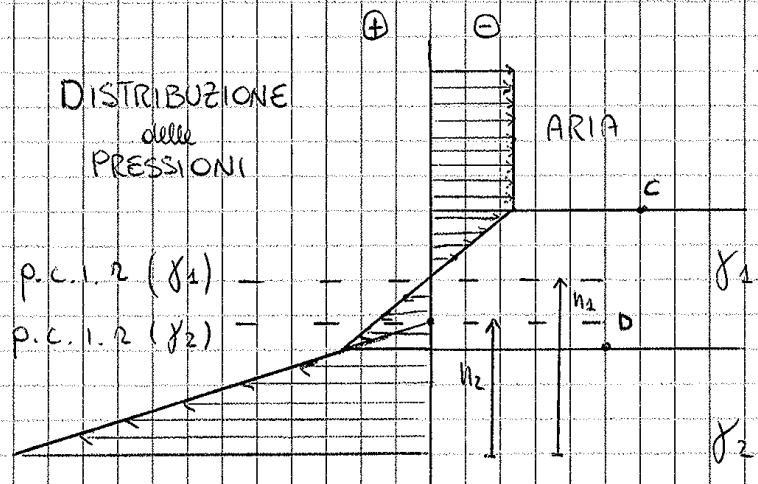
$p_E = 0$ (e contatta con l'atmosfera)

$$z_D + \frac{p_D}{\gamma_2} = z_E + \frac{p_E}{\gamma_2} = h$$

(z_D)

$$h = b + \frac{1}{\gamma_2} (\gamma_1 a - \gamma_m \Delta)$$

$$p(z_m) \equiv m = \gamma_2 (h - z_m)$$

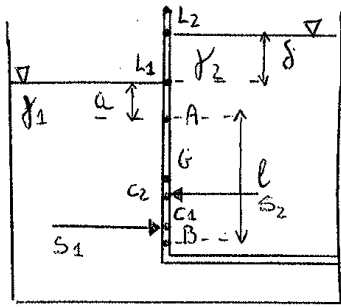


$$\left. \begin{array}{l} \gamma_1) p_D = \gamma_1 (h_1 - b) \\ \gamma_2) p_D = \gamma_2 (h_2 - b) \end{array} \right\}$$

$$\gamma_1 h_1 - \gamma_2 b = \gamma_2 h_2 - \gamma_2 b$$

$$\hookrightarrow h_1 = b + \frac{\gamma_2}{\gamma_1} (h_2 - b)$$

ES 3)



$$\gamma_1) p_G = \gamma_1 (a + l/2)$$

$$S_1 = \gamma_1 (a + l/2) \cdot l$$

$$\bar{GC}_1 = \frac{I_{y_0}}{M} = \frac{l^3/12}{\bar{GL}_1 \cdot (l \cdot 1)}$$

$$\hookrightarrow \bar{GL}_1 = l/2 + a$$

$$\gamma_2) |S_2| = p_G \cdot (l \cdot 1) = \gamma_2 (l/2 + a + f)(l \cdot 1)$$

$$\bar{GC}_2 = \frac{l^3/12}{\bar{GL}_2 (l \cdot 1)}$$

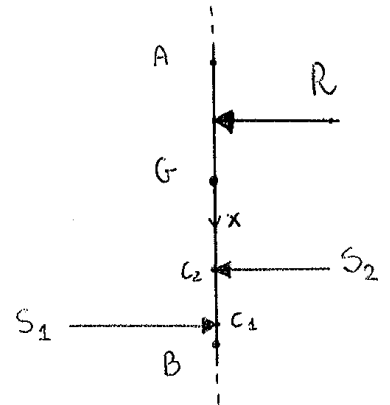
$$\hookrightarrow \bar{GL}_2 = \frac{l}{2} + a + f$$

$$|R| = |S_2| - |S_1| = 1970 \quad \leftarrow$$

$$M_2 + M_1 = R \cdot x$$

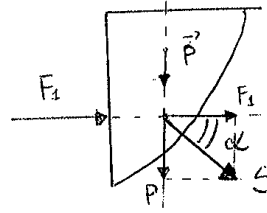
$$|S_2| \cdot \bar{GC}_2 - |S_1| \cdot \bar{GC}_1 = R \cdot x$$

$$\hookrightarrow x = \frac{S_2 \bar{GC}_2 - S_1 \bar{GC}_1}{R} = -0,0423 \text{ m}$$

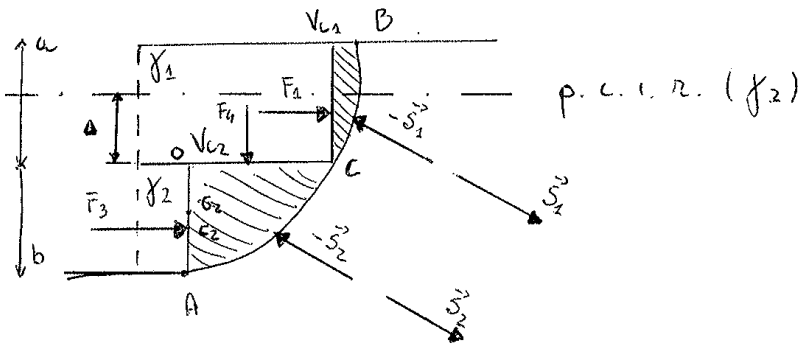


$$|S| = \sqrt{S_o^2 + S_v^2} = \sqrt{\gamma^2 \frac{a^4}{4} + \gamma^2 V^2}$$

$$\alpha = \arctg \frac{|S_v|}{|S_o|} = \arctg \frac{|P|}{|F_1|}$$



Es.

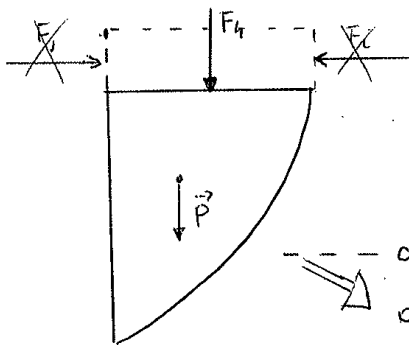


$$p_o = \gamma_1 a = \gamma_2 \Delta \rightarrow \Delta = \frac{\gamma_1}{\gamma_2} a$$

$$|F_3| = p_o A = \gamma_2 \left(\frac{b}{2} + \Delta \right) \cdot b$$

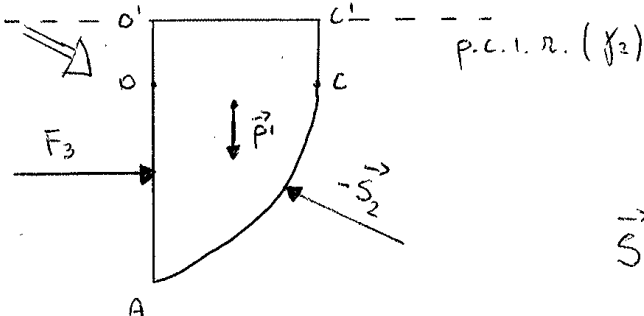
$$|F_1| = \gamma_1 \frac{a^2}{2}$$

$$\bar{c}_2 \bar{g}_2 = \frac{I_{y_0}}{M} = \frac{b^3/12}{X_G A} = \frac{b^3/12}{\left(\frac{b}{2} + \Delta \right) \cdot b}$$

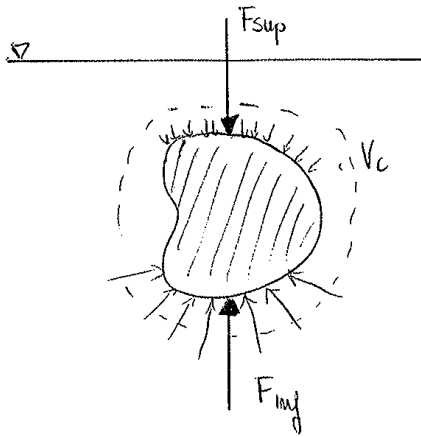


⇒ ho aggiunto un piccolo volumetto supplementare per trasformare F_4 [che in genere non agisce sullo stesso linee di \vec{P}]

↳ F_4 viene inglobata in una forza-peso \vec{P}' piu grande



$$\vec{S}_2 = \vec{P}' + \vec{F}_3$$



$$\vec{S} = \vec{F}_{inf} - \vec{F}_{sup}$$

$$[F_{inf} > F_{sup}]$$

$$\downarrow$$

$$\vec{S} = \uparrow$$

$$|S| = \gamma V$$

$$V_c: \quad \vec{P} + \vec{F}_c = 0$$

$$|F_c| = |S|$$

Spinta di Archimede

EQUILIBRIO RELATIVO

$$\rho \vec{F} = \text{grad } p$$

\vec{F} : forze di massa

$$\vec{F} = - \text{grad} (gz) = \text{grad} (U)$$

$$[U = -gz]$$

In un sistema con sist. di riferimento non comumente con la particella
 * vede delle forze aggiuntive

$$\hookrightarrow \vec{A}_g = \frac{v^2}{r} = \omega^2 r$$

$$\hookrightarrow A_g = \text{grad} \left(\frac{1}{2} \omega^2 r^2 \right)$$

$$= \frac{d}{dr} \left(\frac{1}{2} \omega^2 r^2 \right) = \omega^2 r$$

$$\rho (\vec{F} - \vec{A}_g) = \text{grad } p$$

$$\rho \left[\text{grad} (-gz) - \text{grad} \left(\frac{1}{2} \omega^2 r^2 \right) \right] = \text{grad } p$$

$$\text{grad} \left(gz + \frac{1}{2} \omega^2 r^2 + \frac{p}{\rho} \right) = 0$$

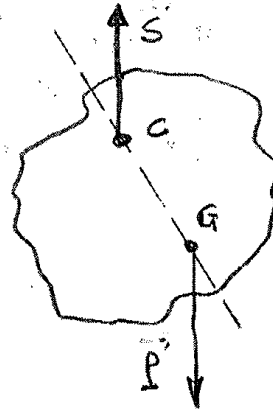
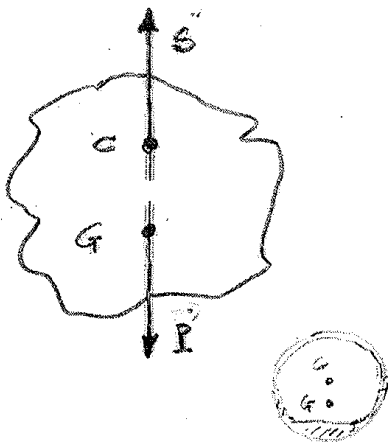


$$\bullet \left[z - \frac{1}{2} \frac{\omega^2 r^2}{g} + \frac{p}{\gamma} = \text{cost} \right]$$

Legge di Stevino

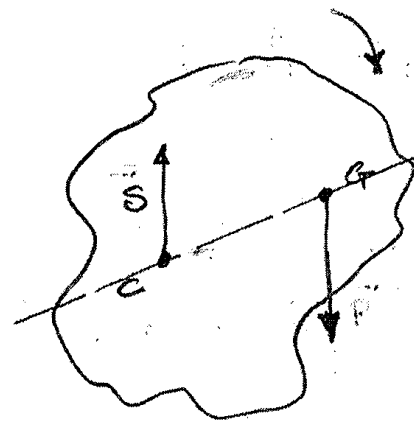
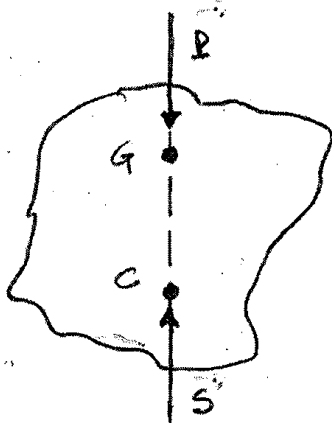
(con sist. riferimento non inerziale)

1° CASO : C È PIÙ IN ALTO DI G



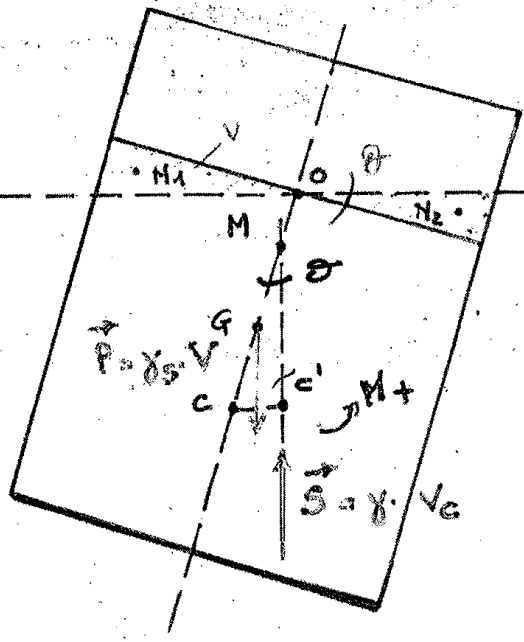
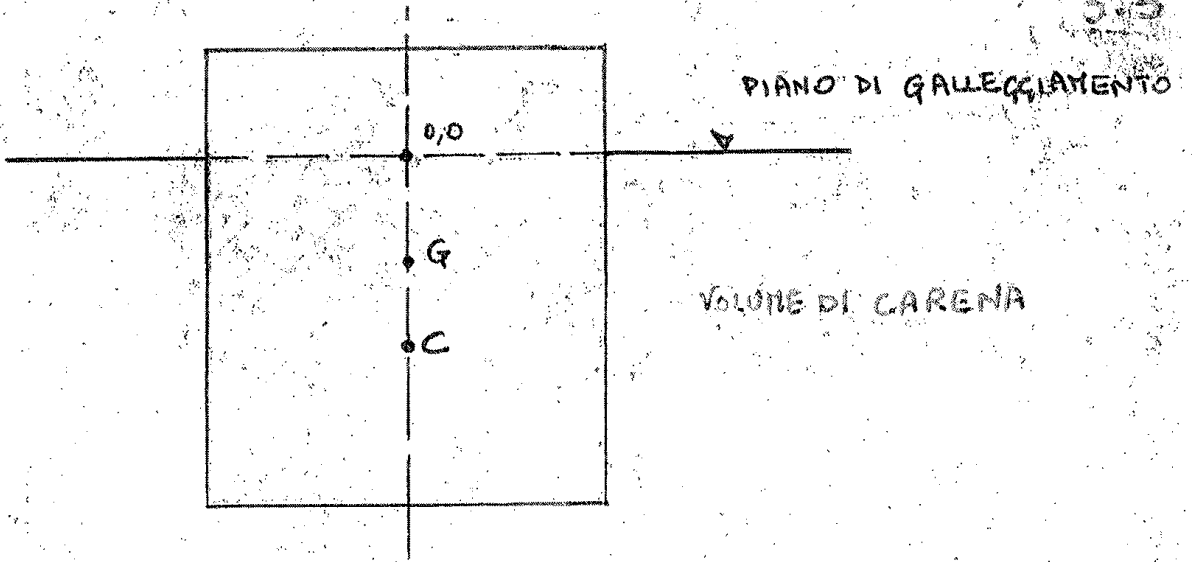
SE IMPONGO
UNA ROTAZIONE
NASCE UNA
COPPIA
STABILIZZANTE

2° CASO : C È PIÙ IN BASSO DI G



SE IMPONGO
UNA ROTAZIONE
NASCE UNA
COPPIA
DESTABILIZZ.
CHE FA
RIBALTARE
IL CORPO

5.3



M METACENTRO

$$P = \gamma_s \cdot V = \gamma \cdot V_c$$

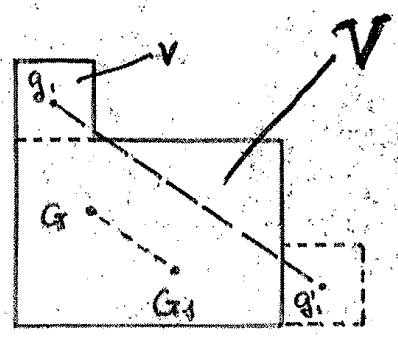
$$\vec{M} = |\vec{S}| \cdot MC \cdot \sin \theta$$

$$\vec{M} = |\vec{S}| \cdot (\overline{MC} - \overline{GC}) \sin \theta$$

$$\overline{MC} - \overline{GC} > 0$$

$$\overline{MC} > \overline{GC}$$

SAPPIAMO CHE :



$$\frac{\overline{CG_1}}{v} = \frac{g_1 \cdot g_1}{V} \quad \text{PERCHÉ} \Rightarrow \boxed{\frac{\overline{CC'}}{v} = \frac{\overline{N_1 N_2}}{V_c}}$$

$$\overline{CC'} = \overline{MC} \sin \theta$$

$$\frac{\overline{MC} \sin \theta}{v} = \frac{\overline{N_1 N_2}}{V_c}$$

MECCANICA dei FLUIDI I

CINEMATICA dei FLUIDI

- Approccio LAGRANGIANO → "prendo una particella e la seguo"
- Approccio EULERIANO → "osservo ciò che succede in una certa regione di spazio"

$$\begin{cases} x = x(x_0, y_0, z_0, t) \\ y = y(x_0, y_0, z_0, t) \\ z = z(x_0, y_0, z_0, t) \end{cases} \quad \forall t$$

$$\begin{cases} u = u(x, y, z, t) \\ v = v(x, y, z, t) \\ w = w(x, y, z, t) \end{cases} \quad \forall t$$

↓
componenti di velocità del campo di moto

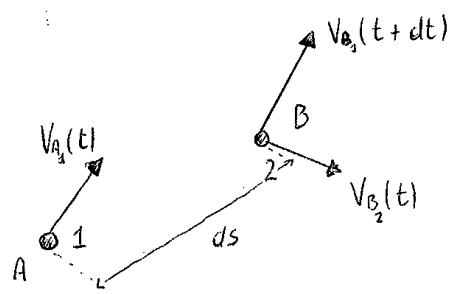
$u = \frac{dx}{dt}$ def. di velocità

A.L. ↔ A.E.

$$\begin{cases} dx = u(x, y, z, t) dt \\ dy = v(x, y, z, t) dt \\ dz = w(x, y, z, t) dt \end{cases}$$

CONDIZIONI INIZIALI

$$\begin{cases} x = x_0 \\ y = y_0 \\ z = z_0 \end{cases} \quad (t = 0)$$



$$\vec{A} = \frac{V_B(t+dt) - V_A(t)}{dt}$$

$$\frac{V_B(t+dt) [-V_B(t) + V_B(t)] - V_A(t)}{dt}$$

L'accelerazione secondo i due approcci non è la stessa

LAGR.: $a = \frac{d^2x}{dt^2}$

↳ EULERO:

$$\vec{A} = \frac{d\vec{v}}{dt} + \frac{d\vec{v}}{ds} \cdot \vec{v}$$

[Sono derivate parziali]

acc. locale

acc. convettiva

* variaz. velocità temporale

variaz. velocità spaziale

Linee particolari

TRAIETTORIA: luogo dei punti occupati nel tempo dalle particelle

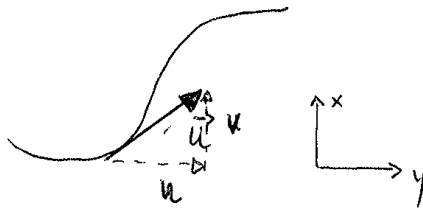
$$dx = u(x, y, z, t) dt$$

$$dy = v(x, y, z, t) dt$$

$$dz = w(x, y, z, t) dt$$

$$\vec{u} = \begin{Bmatrix} u \\ v \\ w \end{Bmatrix} = \begin{Bmatrix} u_x \\ u_y \\ u_z \end{Bmatrix}$$

LINEE di CORRENTE : e' tangente al vettore velocità in ogni punto
(Definita ad un tempo t)



$$\frac{dx}{dy} = \frac{u}{v}$$

All'istante t_0 :

$$\frac{dx}{u(x, y, z)} = \frac{dy}{v(x, y, z)} = \frac{dz}{w(x, y, z)}$$

Per visualizzare le traiettorie si usano delle particelle colorate che vengono fotografate con lunghi tempi di esposizione.

Al contrario se voglio vedere le linee di corrente devo "fissare" l'istante e vedere lo spostamento infinitesimo, fissando brevi istanti uno successivo all'altro vedo le linee desunte dal vettore \vec{u} che si sposta (e si tiene sempre tangente)

$$\frac{dp}{dt} + \underbrace{\frac{\partial(\rho u)}{\partial x} + \frac{\partial(\rho v)}{\partial y} + \frac{\partial(\rho w)}{\partial z}} = 0$$

$$\frac{dp}{dt} + \text{div}(\rho \vec{u}) = 0$$

I FORMA EQ. CONTINUITA'

div. di un vettore = scalare

$$\text{div}(\rho \vec{u}) = \vec{u} \text{ grad } \rho + \rho \text{ div } \vec{u}$$

↓

$$\frac{dp}{dt} + \vec{u} \text{ grad } \rho + \rho \text{ div}(\vec{u}) = 0$$

$$\frac{D\rho}{Dt}$$

(derivata totale)

$$\frac{D\vec{f}}{Dt} = \frac{\partial \vec{f}}{\partial t} + \vec{u} \text{ grad } \vec{f}$$

$$\frac{D\rho}{Dt} + \rho \text{ div}(\vec{u}) = 0$$

II FORMA

I IPOTESI : a) ~~permanente~~ $\rho(x, y, z) = \text{cost}$
(CON I FORMA)

OMOGENEO

$$\frac{dp}{dt} + \rho \text{ div } \vec{u} = 0$$

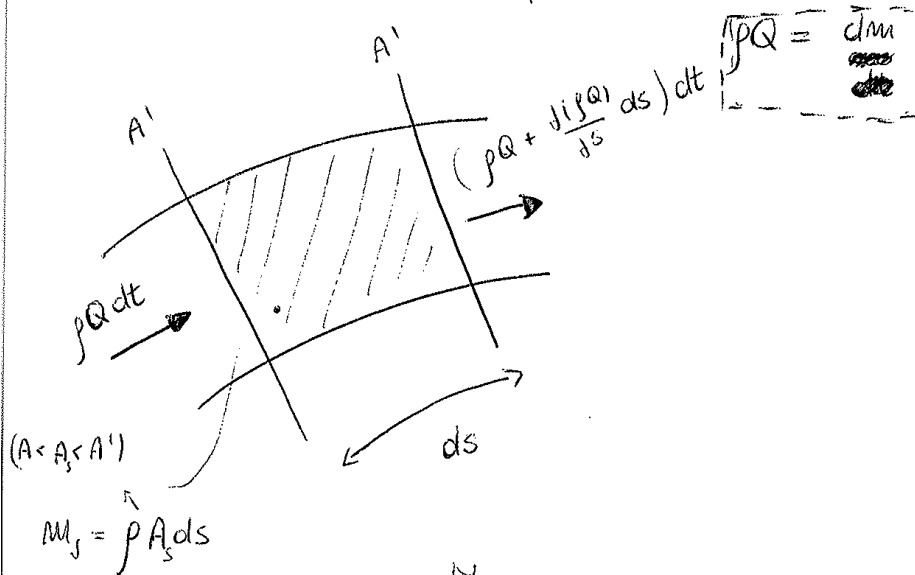
b) MOTO PERMANENTE $\partial/\partial t = 0$

$$\text{div}(\rho \vec{u}) = 0$$

c) ~~permanente~~ ~~permanente~~ $\rho(x, y, z, t) = \text{cost}$

$$\text{div}(\vec{u}) = 0$$

EQ. CONTINUITA' per le CORRENTI



Masse uscite - massa entrante = variazione massa interna

$$\frac{d(\rho Q)}{ds} ds dt = - \frac{d}{dt} (\rho A ds) dt$$

$$\dots = - \frac{d(\rho A)}{dt} ds dt$$

$$\frac{d(\rho A)}{dt} + \frac{d(\rho Q)}{ds} = 0$$

$\rho = \text{cost}$ (nello spazio e nel tempo)

$$\frac{dA}{dt} + \frac{dQ}{ds} = 0$$

MOTO PERMANENTE + $\rho = \text{cost}$

$$\frac{dQ}{ds} = 0 \Rightarrow Q = \text{cost}$$

$$\left(dm \vec{A} = \rho dx dy dz \cdot \frac{D\vec{u}}{Dt} \right)$$

$$\vec{A} = \frac{D\vec{u}}{Dt}$$

$$\downarrow$$

$$\left(dm \cdot \vec{A} = d\vec{R} \right)$$

$$\int \rho (\vec{F} - \vec{A}) = \frac{\partial \vec{\Phi}_x}{\partial x} + \frac{\partial \vec{\Phi}_y}{\partial y} + \frac{\partial \vec{\Phi}_z}{\partial z}$$

EQ. INDEFINITA
della DINAMICA

lungo le 3 direzioni

$$\int \rho \left(F_x - \frac{Du}{Dt} \right) = \frac{\partial \phi_{xx}}{\partial x} + \frac{\partial \phi_{yx}}{\partial y} + \frac{\partial \phi_{zx}}{\partial z}$$

$$\int \rho \left(F_y - \frac{Dv}{Dt} \right) = \frac{\partial \phi_{xy}}{\partial x} + \frac{\partial \phi_{yy}}{\partial y} + \frac{\partial \phi_{zy}}{\partial z}$$

$$\int \rho \left(F_z - \frac{Dw}{Dt} \right) = \frac{\partial \phi_{xz}}{\partial x} + \frac{\partial \phi_{yz}}{\partial y} + \frac{\partial \phi_{zz}}{\partial z}$$

$$\left([\Phi] = \{ \vec{\Phi}_x, \vec{\Phi}_y, \vec{\Phi}_z \} \right)$$

$$\text{div} \cdot \Phi = \frac{\partial \vec{\Phi}_x}{\partial x} + \frac{\partial \vec{\Phi}_y}{\partial y} + \frac{\partial \vec{\Phi}_z}{\partial z}$$

$$\int \rho \left(F - \frac{D\vec{u}}{Dt} \right) = \text{div} \cdot \Phi$$

$$\rho \left(\vec{F} - \frac{D\vec{u}}{Dt} \right) = \text{div } \underline{\Phi}$$

↓

$$\int_V \left[\rho \left(\vec{F} - \frac{D\vec{u}}{Dt} \right) - \text{div } \underline{\Phi} \right] dV = 0$$

$$\int_V \rho \vec{F} dV - \int_V \rho \frac{D\vec{u}}{Dt} dV - \int_V \text{div } \underline{\Phi} dV = 0$$

forze-peso

$$\vec{P} = \rho V$$

$$= - \int_{\Omega} \underbrace{\underline{\Phi} \cdot \vec{M}}_{\vec{\Phi}_n} d\Omega \quad (\text{TH. DIVERGENZA})$$

(TH. TEOREMA DI GAUCHY)

$$= - \int_{\Omega} \vec{\Phi}_n d\Omega$$

$$\rho \frac{D\vec{u}}{Dt} = \rho \frac{d\vec{u}}{dt} + \underbrace{\rho u \frac{d\vec{u}}{dx} + \rho v \frac{d\vec{u}}{dy} + \rho w \frac{d\vec{u}}{dz}}_{\frac{d(\rho \vec{u})}{dx} - \vec{u} \frac{d(\rho u)}{dx}} \quad (\text{vale x gli altri termini})$$

$$\rho \frac{D\vec{u}}{Dt} = \rho \frac{d\vec{u}}{dt} + \underbrace{\frac{d(\rho u \vec{u})}{dx} + \frac{d(\rho v \vec{u})}{dy} + \frac{d(\rho w \vec{u})}{dz}}_{\text{div}(\rho \vec{u}) = - \frac{d\rho}{dt}} - \vec{u} \left[\frac{d(\rho u)}{dx} + \frac{d(\rho v)}{dy} + \frac{d(\rho w)}{dz} \right]$$

$$\downarrow$$

$$\left(+ \vec{u} \frac{d\rho}{dt} \right)$$

*2

*1 e *2 → $\frac{d(\rho \vec{u})}{dt}$

$$\rho \frac{D\vec{u}}{Dt} = \frac{d(\rho \vec{u})}{dt} + \text{div}(\rho \vec{u} \times \vec{u})$$

$$\rightarrow (\rho \vec{u} \times \vec{u}) = \rho \begin{pmatrix} u^2 & uv & uw \\ vu & v^2 & vw \\ wu & wv & w^2 \end{pmatrix}$$

$$\int_{\Omega} \rho \vec{u} \cdot \vec{v}_m \, d\Omega = \vec{M}_e - \vec{M}_u$$

\vec{M} = q.to di moto

$$\int_{\Omega} \vec{\Phi}_m \, d\Omega = \vec{F}_c$$

$$\int_V \frac{d(\rho \vec{u})}{dt} \, dV = \vec{I} \quad \rightarrow \text{"matte lorde"}$$

$$\vec{P} + (\vec{M}_e - \vec{M}_u) + \vec{F}_c = \vec{I}$$

~~Correnti stazionarie~~ ~~Correnti stazionarie~~

CORRENTI CIRCULANTEMENTE VARIABILI

$$|\vec{u}| = u_m \equiv V \cdot \vec{M}$$

$$\vec{M}_e = \int_{\Omega} \rho \vec{u} \cdot u_m \, d\Omega = \vec{M} \int_{\Omega} \rho V^2 \, d\Omega = \int_{\Omega} \rho \beta V Q \cdot \vec{M}$$

$$\beta = \frac{\int_{\Omega} \rho V^2 \, d\Omega}{\rho_m V^2 \Omega}$$

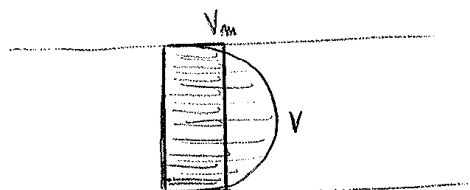
↓
coeff. di ragguaglio

↑
flusso q.to di moto
generico

↑
flusso q.to di moto
in condizioni di V media

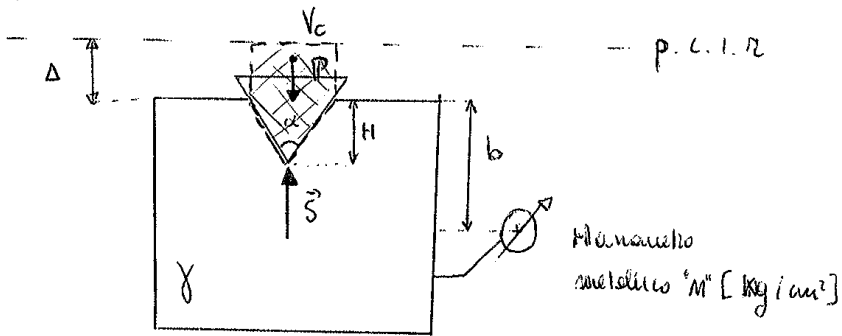
$$Q = V \cdot \Omega$$

MOTI TURBOLENTI : $\beta \sim 1$



Esercitazione 2

ES. 1



Dati: H, α, m, b, γ

?) Peso della valvola
 conica per trovare il "buco"

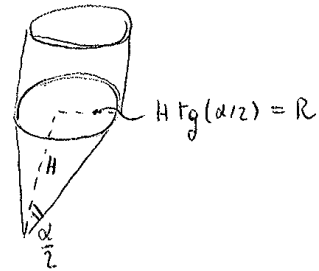
$$1 \text{ kg/cm}^2 = 10^4 \text{ kg/m}^2$$

$$= 10^4 \cdot g \frac{\text{N}}{\text{m}^2}$$

$$m [\text{Pa}] = \gamma (\Delta + b)$$

$$\Delta = \frac{m}{\gamma} - b = 0,4 \text{ m}$$

$$\vec{P} + \vec{S} = 0$$



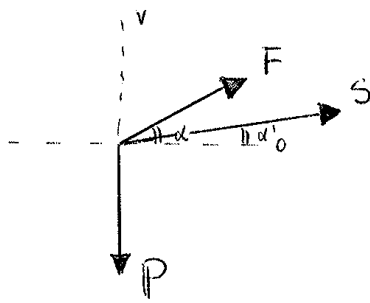
$$P = \gamma V$$

$$V = V_{\text{cono}} + V_{\text{cilindro}} = \frac{2}{3} \pi R^2 H + \pi R^2 \Delta = \frac{2}{3} \pi H^3 \text{tg}^2(\alpha/2) + \pi H^2 \text{tg}^2(\alpha/2) \Delta =$$

$$0,00487 \text{ m}^3$$

$$|S| = |P| = 47,81 \text{ N}$$

Resp. qualitative



$$\vec{S} = \vec{P} + \vec{F}$$

$$S_0 = |F| \cos \alpha$$

$$S_v = -|F| \sin \alpha + |P|$$

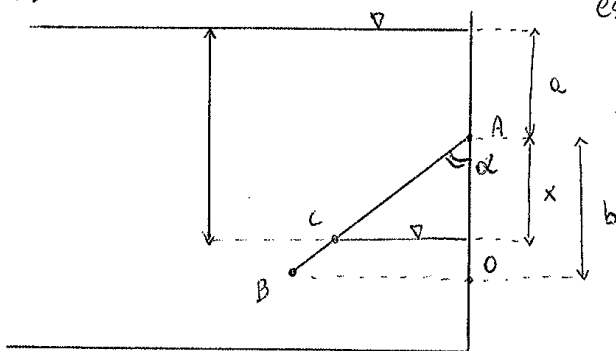
$$\alpha' = \arctg \frac{S_v}{S_0}$$

La risultante delle spinte sulla sup. curva deve passare per il centro di curvatura (perché tutte le spinte infinitesime hanno centri di curvatura convergenti al centro di curvatura)

quindi sapendo direzione e inclinazione (α') posso sapere dove è applicata \vec{S}

ES. 3

$$\overline{AB} = l$$



Se riempio molto molto piano posso affermare di essere in cond. idrostatiche

$$V_i = \frac{b^2}{2} \operatorname{tg} \alpha \cdot 1$$

$$p_i = p_{atm}$$

$$[\alpha = \arccos(b/l)]$$

$$V_j = \frac{x^2}{2} \operatorname{tg} \alpha \cdot 1$$

$$p_j = \gamma(a+x) + p_{atm}$$

TRASF. ISO-T : $p_i V_i = p_j V_j$

$$p_{atm} \cdot \frac{b^2}{2} \operatorname{tg} \alpha = [\gamma(a+x) + p_{atm}] \frac{x^2}{2} \operatorname{tg} \alpha$$

eq. del tipo : $a_0 x^3 + a_1 x + a_2 = 0 \quad \rightarrow \quad x = 1,35 \text{ m}$

TH. di BERNOULLI

IPOTESI:

- 1 - FLUIDO PERFETTO
- 2 - FLUIDO "PESANTE" (soggetto a gravità)
- 3 - FLUIDO INCOMPRESSIBILE $\frac{D\rho}{Dt} = 0$
- 4 - MOTO PERMANENTE

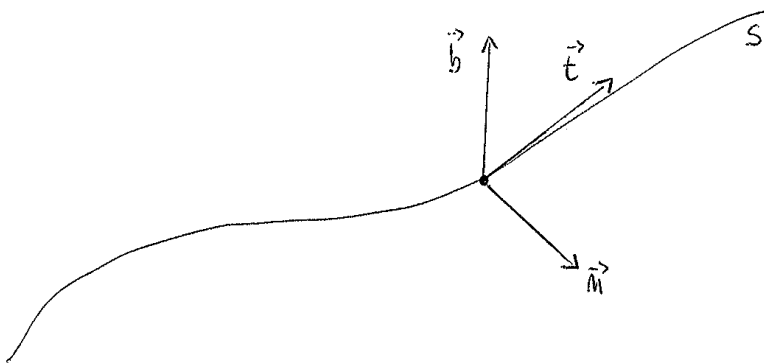
1) \rightarrow eq. di Eulero: $\rho (\vec{F} - \vec{A}) = \text{grad}(p)$

2) $\vec{F} = -\text{grad}(gz) = -g \text{grad}(z)$ sostituendolo in 1)

$$-g \text{grad}(z) - \rho \vec{A} = \text{grad}(p)$$

$$-\frac{\vec{A}}{g} = \text{grad}(z) + \frac{1}{g} \text{grad}(p)$$

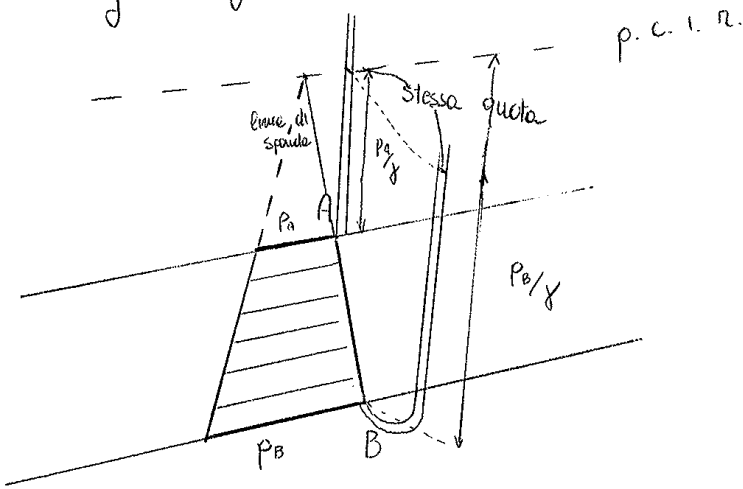
Traiettoria generica, coordinate curvilinee



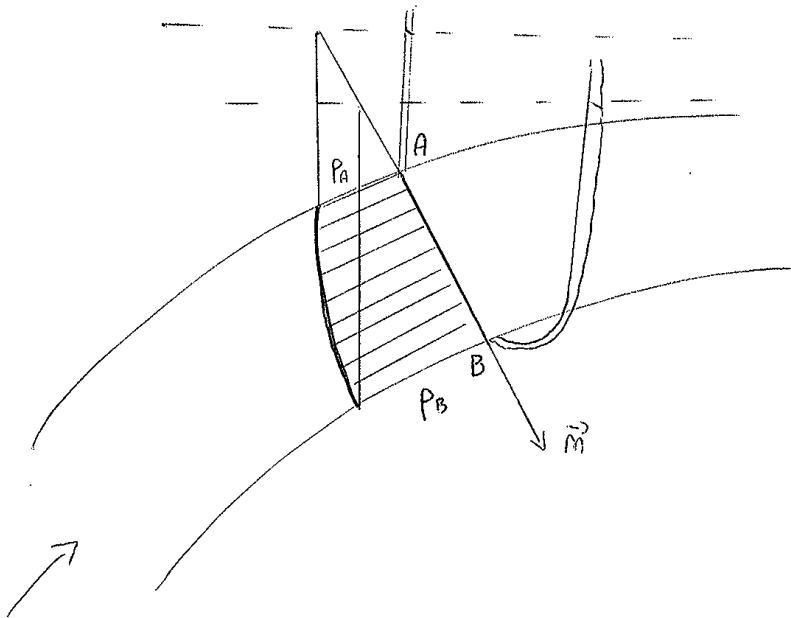
CASO $r \rightarrow \infty$ (curvatura nulla \Rightarrow traiettorie rettilinee)

• $\frac{dh}{dm} = \frac{dh}{db} = 0$

h : carico piezometrico



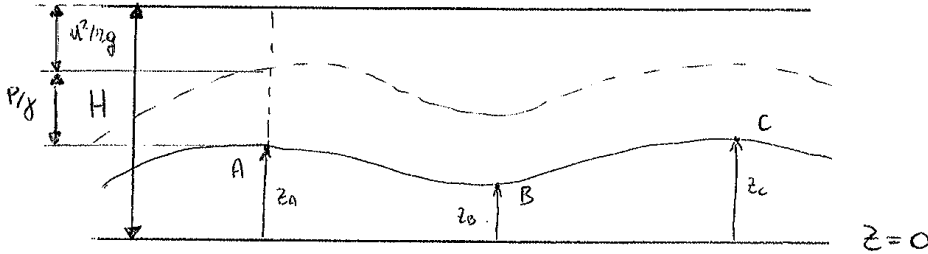
distribuzione idrostatica
delle pressioni
 \rightarrow lineare



distribuzione non
idrostatica (non lineare)

INTERPR. GEOMETRICA

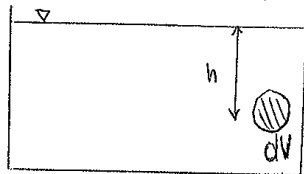
$$H = z + \frac{p}{\gamma} + \frac{u^2}{2g}$$



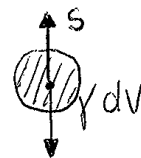
$$z_A + \frac{p_A}{\gamma} + \frac{u_A^2}{2g} = z_B + \frac{p_B}{\gamma} + \frac{u_B^2}{2g} = z_C + \frac{p_C}{\gamma} + \frac{u_C^2}{2g}$$

INTERP. ENERGETICA

- $z \equiv$ em. potenziale per unità di peso
- $\frac{u^2}{2g} =$ em. cinetica per unità di peso
- $\frac{p}{\gamma} =$ em. potenziale per unità di peso



$$p = \gamma h$$



Se ipotizziamo che dV si sposti molto lentamente a quote più alte verso il pelo libero, l'energia potenziale del dV spostato cresce di una

quantità $(\gamma dV \cdot h) \rightarrow \gamma dV \cdot \frac{p}{\gamma} \rightarrow$ riferendo all'unità di peso

$$[mgh] \qquad E_p = \frac{p}{\gamma}$$

l'acquisto di E_p si realizza in una perdita di E di pressione che solendo passa da $(\gamma h) \rightarrow 0$ sul pelo libero

$$z_B = - d/2$$

$$u_B = \sqrt{2g(h + d/2)}$$

• (se $h \gg d/2$)

$$u_B = \sqrt{2gh}$$

vel. teorica u_{tor}

$u_{\text{effettiva}} \propto u_{\text{tor}}$

$$u_{\text{eff}} = C_v \cdot u_{\text{tor}}$$

C_v : coeff. sperimentalmente

$$C_v \approx 0,98$$

$$Q = \overset{\substack{\uparrow \\ \text{area ser. contratto}}}{\Omega_c} \cdot C_v \sqrt{2gh}$$

↓

$$C_c = \frac{\overset{\substack{\uparrow \\ \text{ser. contratto}}}{\Omega_c}}{\underset{\substack{\downarrow \\ \text{ser. foro}}}{\Omega}} = 0,61$$

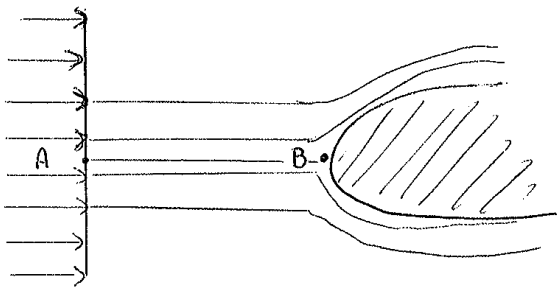
(valore teorico)

$$Q = \underbrace{(C_c \cdot C_v)}_{m} \Omega \sqrt{2gh}$$

$m \rightarrow$ coeff. di efflusso ($\sim 0,6$)

$$\Omega = \frac{\pi d^2}{4}$$

TUBO di PITOT (moti a potenziale) → posso collegare analiticamente le sezioni



La velocità in B è zero

$$u_B = 0$$

↳ punto di RISTAGNO

TH. BERNOULLI AB:

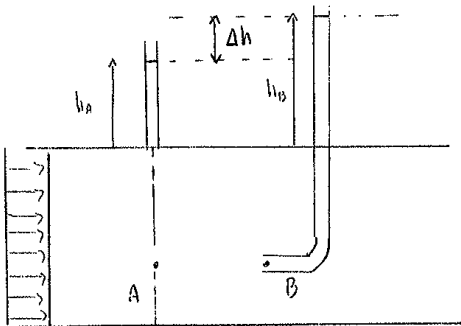
$$z_A + \frac{p_A}{\gamma} + \frac{u_A^2}{2g} = z_B + \frac{p_B}{\gamma}$$

$\underbrace{\hspace{1.5cm}}_{h_A} \qquad \qquad \qquad \underbrace{\hspace{1.5cm}}_{h_B}$

$$u_A = \sqrt{2g(h_B - h_A)}$$

$$h_B - h_A = \Delta h$$

$$\Delta h = \frac{u_A^2}{2g}$$



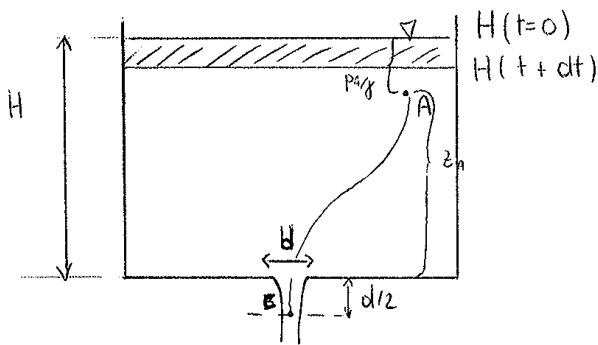
	A	B	
u	u _A	→ u _B = 0	↘ (u)
p	p _A	→ p _B	↗ (p)
z	z _A	= z _B	—

ES. 2

Problema di svuotamento serbatoio: \rightarrow se il livello si abbassa molto gradualmente \Rightarrow moto uniforme
 \downarrow
 Vedo il problema come una successione di stati permanenti ad istanti successivi

- foro piccolo
- Volume grande

$H \gg d$



$$\underbrace{-\Omega [H(t) - H(t+dt)]}_{dV} = -Q[H(t)] dt$$

$$-\Omega \frac{dH(t)}{dt} = -Q[H(t)]$$

TRAIETTORIA \tilde{AC}

$$z_A + \frac{p_A}{\gamma} + \frac{u_A^2}{2g} = z_C + \frac{p_C}{\gamma} + \frac{u_C^2}{2g}$$

$\underbrace{\hspace{2cm}}_H$

$$\frac{dH(t)}{dt} = -\frac{Q[H(t)]}{\Omega} = -\frac{Q}{\Omega}$$

$$H + d/2 = \frac{u_c^2}{2g} \rightarrow u_c = \sqrt{2g(H + d/2)} \sim \sqrt{2gH} \quad \text{se } H \gg d$$

$H \gg d/2$

$$Q = u_c \Omega_c = c_c \frac{\pi d^2}{4} \sqrt{2gH}$$

$$\frac{dH(t)}{dt} = -c_c \frac{\pi d^2}{4\Omega} \sqrt{2gH} \rightarrow \int \frac{dH}{\sqrt{H}} = \int -c_c \frac{\pi d^2 \sqrt{2g}}{4\Omega} dt$$

$$2\sqrt{H} + \text{cost} = -\frac{c_c \pi d^2 \sqrt{2g}}{4\Omega} \cdot t$$

Sapendo che $t=0 \rightarrow H = H(t=0)$

$$\Delta H_{12} = H_{A_2} - H_{A_1} = z_A + \left(\frac{U_A^2}{2g} - \frac{U_B^2}{2g} \right) (> 0) \quad \Leftarrow (U_A > U_B)$$

$$z_A \nearrow \quad \nearrow \Delta H \quad (\text{tubo lungo})$$

$$\left(\frac{U_A^2}{2g} - \frac{U_B^2}{2g} \right) \nearrow \quad \nearrow \Delta H \quad (\text{tubo divergente})$$

} compromesso con le perdite

$$p_A = - \Delta \gamma_m$$

$$\frac{p_A}{\gamma} = \frac{U_B^2}{2g} - \frac{U_A^2}{2g} - z_A = \frac{Q^2}{2g \Omega_A^2} - \frac{Q^2}{2g \Omega_B^2} - z_A$$

} e si trova Δ
 $\Delta = -0,23$

$$\Rightarrow \alpha = \frac{\gamma \int_{\Omega} \frac{u^3}{2g} d\Omega}{\gamma \frac{U^2}{2g} \cdot U \Omega} \quad \alpha : \text{coeff. raccoglimento pot. cinetica}$$

$$\alpha = \frac{\int_{\Omega} u^3 d\Omega}{U^3 \Omega}$$

$\alpha = 1$ profili piatti
 $\alpha > 1$ profili generici

U : vel. media

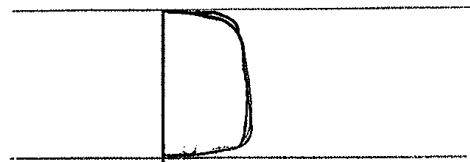
$$P = \gamma Q \left[h + \alpha \frac{U^2}{2g} \right] = \gamma Q H^*$$

$H^* = \text{cost}$

• MOTO TURBOLENTO

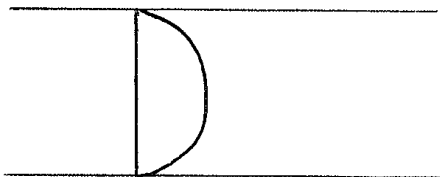
\rightarrow dopo aver fatto una media
 temporale, il profilo di velocità
 (spaziale)

\rightarrow



$$\alpha = 1,05 \div 1,06 \sim 1$$

• MOTO LAMINARE



$$\alpha = 2$$

$$Q = \frac{\Omega_A \cdot \Omega_B}{\sqrt{\Omega_A^2 - \Omega_B^2}} \cdot \sqrt{2g\delta}$$

δ : valore letto dal manometro differenziale

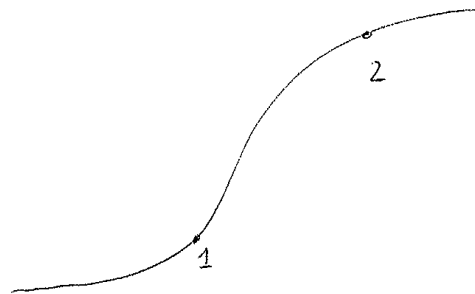
$$\delta = \Delta \frac{\gamma_m - \gamma}{\gamma}$$

$$\downarrow$$

$$[Q \propto \sqrt{\Delta}]$$

Tn. BERNOULLI per il MOTO VARIO

$$\frac{dH}{ds} = - \frac{1}{g} \frac{dU}{dt}$$



Fissiamo t , e integriamo

$$H_2 - H_1 = - \frac{1}{g} \int_1^2 \frac{dU}{dt} ds$$

Esempio: tubo cilindrico con pareti rigide

$Q \neq Q(s)$; $U \neq U(s)$ "non dipendenti" da s

$$\frac{dU}{dt} = \frac{dU}{dt}$$

$$H(s) = H_0 - \frac{s}{g} \frac{dU}{dt}$$

$$[H(2) = H_1 - \frac{s}{g} \frac{dU}{dt}]$$

... ESERCITAZIONE 3

ES. 5 (foglio esecutivo)

$$J = \underbrace{\Delta \frac{\gamma_m - \gamma}{\gamma}}_{\textcircled{1}} = h_1 - h_2 \quad \textcircled{\bullet}$$

$$H_1 = H_2$$

$$h_1 + \frac{U_1^2}{2g} = h_2 + \frac{U_2^2}{2g} \quad \Rightarrow \quad h_1 - h_2 = \underbrace{\frac{1}{2g} (U_1^2 - U_2^2)}_{\textcircled{2}}$$

$$U_1 = \frac{4Q}{\pi D_1^2} \quad ; \quad U_2 = \frac{4Q}{\pi D_2^2}$$

$$\textcircled{1} = \textcircled{2}$$

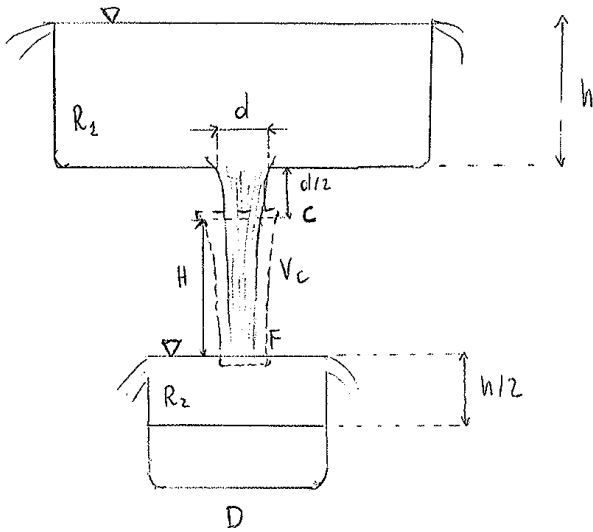
L > e trovi Δ

ESERCITAZIONE 4

\vec{M} : flusso q.ta di moto

Eq. globale equilibrio dinamico : $\vec{P} + \vec{F}_c + (\vec{M}_e - \vec{M}_u) = 0$
 (moto stazionario)

ES. 1



[dove $p=0$]
 a contatto con l'atmosfera

Th. Bernoulli: in condotta libera la portata si conserva la sua E_{tot} pure, stando solo lungo z $E_p \downarrow$ $E_c \uparrow$

$E_p: z$
 $E_c: \frac{U^2}{2g}$

la sez. si restringe se Q deve rimanere costante

In un tubo verticale il discorso vale, ma cambiano i termini, poiché $Q = cost$, ma questa volta $p \neq 0$; se $D_{tubo} = cost$
 $\rightarrow U = cost$

Bernoulli
 Th. V punto serb. R_1 e sez. condotta c

$$U_c = \sqrt{2g(h + d/2)}$$

$$Q = U_c \cdot \Omega_c = U_c \cdot \Omega \cdot C_{cc} = 0,214 \text{ m}^3/s$$

$(\frac{\pi d^2}{4})$

[Nel nostro Volume di controllo $\vec{F}_c = 0$ [$p_c = 0, p_F = 0, p_{ext} = 0$]]

$$\vec{P} = \vec{M}_u - \vec{M}_e$$

$$M = \rho \beta \cdot Q U \quad (\beta = 1 \text{ turbolento})$$

$$z_A = z_D + R_{CD} (1 - \cos \beta) + L \sin \alpha + R_{AB} (1 - \cos \alpha) = 1285 \text{ m}$$

$$|F_A| = \rho_A \cdot \frac{\pi D^2}{4} \approx 650271 \text{ N}$$

$$|F_B| = \rho_B \cdot \frac{\pi D^2}{4} \approx 252048 \text{ N}$$

(ρ_B si calcola con Bernoulli)

$$|M_A| = |M_B| = \int \rho Q U_A = 56560 \text{ N}$$

$$\vec{S}_{AB} = \vec{P} + \vec{F}_A + \vec{F}_B + (\vec{M}_A - \vec{M}_B)$$

$$\begin{cases} \text{direz. orizzontale} \\ \rightarrow (\vec{S}_{AB})_o = F_A + (-F_B \cos \alpha) + M_A - M_B \cos \alpha \\ \text{direz. verticale} \\ \rightarrow (\vec{S}_{AB})_v = F_B \sin \alpha - P - (-M_B \sin \alpha) \end{cases}$$

$$|S_{AB}| = \sqrt{(S_{AB})_o^2 + (S_{AB})_v^2} \approx 512 \text{ kN}$$

$$\theta = \arctg \frac{(S_{AB})_v}{(S_{AB})_o} \approx 60^\circ$$

MECCANICA dei FLUIDI II

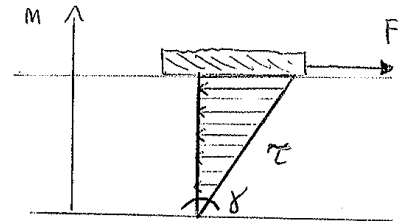
η = VISCOSITA' DINAMICA

ν = VISCOSITA' CINEMATICA

$$\nu = \eta / \rho$$

$$|\tau| = \eta \frac{du}{dn}$$

(TN. lavoro di deformazione)



$$\gamma_1 = \frac{dw}{dx} dx dt \quad \gamma_2 = \frac{du}{dz} dz dt \rightarrow d\gamma_2 = \frac{du}{dz} dt$$

$$d\gamma_1 = \frac{dw}{dx} dt$$

$$\frac{d\gamma_1}{dt} = \frac{dw}{dx}$$

$$\frac{d\gamma_2}{dt} = \frac{du}{dz}$$

γ_1, γ_2

(angoli di deformazione)

$$d\gamma = d\gamma_1 + d\gamma_2 = \frac{dw}{dx} + \frac{du}{dz}$$

$$\tau = \eta \frac{du}{dz} = \eta \frac{d\gamma}{dt}$$

$$\tau_{xz} = \tau_{zx} = -\eta \left(\frac{du}{dz} + \frac{dw}{dx} \right)$$

$$\tau_{xy} = \tau_{yx} = -\eta \left(\frac{du}{dy} + \frac{dv}{dx} \right)$$

$$\tau_{yz} = \tau_{zy} = -\eta \left(\frac{dv}{dy} + \frac{dw}{dz} \right)$$

$$\rho \left(F_x - \frac{Du}{Dt} \right) = \frac{dp}{dx} - \underbrace{2\eta \frac{d^2u}{dx^2} + \frac{d}{dy} \left[-\eta \left(\frac{dv}{dx} + \frac{du}{dy} \right) \right] + \frac{d}{dz} \left[-\eta \left(\frac{dw}{dx} + \frac{du}{dz} \right) \right]}_{\text{Svolgimento le derivate}}$$

$$\left(-\eta \frac{d^2u}{dx^2} - \eta \frac{d^2u}{dx^2} \right)$$

$$\rho \left(F_x - \frac{Du}{Dt} \right) = \frac{dp}{dx} - \eta \left(\frac{d^2u}{dx^2} + \frac{d^2u}{dy^2} + \frac{d^2u}{dz^2} \right) - \cancel{\eta \frac{d}{dx} \left(\frac{du}{dx} + \frac{dv}{dy} + \frac{dw}{dz} \right)}$$

= 0 $\rho = \text{cost}$
 FLUIDO INCOMPRESSIBILE $\text{div} \cdot \vec{v} = 0$

$$\rightarrow \begin{cases} \rho \left(F_x - \frac{du}{dt} \right) = \frac{dp}{dx} - \eta \nabla^2 u \\ \rho \left(F_y - \frac{dv}{dt} \right) = \frac{dp}{dy} - \eta \nabla^2 v \\ \rho \left(F_z - \frac{dw}{dt} \right) = \frac{dp}{dz} - \eta \nabla^2 w \end{cases}$$

$$\rho (\vec{F} - \vec{A}) = \text{grad } p - \eta \nabla^2 \vec{v}$$

↳ termine che tiene conto delle viscosità!
 (FLUIDI REALI)

$$Re \rightarrow \infty \Rightarrow \frac{\nabla^2 u}{Re} \rightarrow 0$$

$$\cdot \left[\begin{array}{l} \dot{F}_x \\ \dot{F}_z \end{array} \right] - \frac{du}{dt} = \frac{dP}{dx}$$

$$N^{\circ} Fr = \frac{u_0^2}{gl} = \frac{\text{forze inerziali}}{\text{forze gravitazionali}}$$

$$N^{\circ} Re = \frac{\rho u_0 l}{\mu} = \frac{u_0 l}{\nu} = \frac{\text{forze inerziali}}{\text{forze viscosi}}$$

EQ. FLUIDI IN LENTO MOVIMENTO

$$\rho \vec{F} = \text{grad } p - \mu \nabla^2 \vec{v}$$

$$\left[\frac{Dv}{Dt} = 0 \right]$$

$$\downarrow$$

$$x) \rho \left(-g \frac{dz}{dx} \right) = \frac{dp}{dx} - \mu \nabla^2 u$$

$$\frac{dz}{dx} + \frac{1}{\rho} \frac{dp}{dx} = \frac{\mu}{\rho} \nabla^2 u$$

$$\frac{d}{dx} \left(z + \frac{p}{\rho} \right) = \frac{\mu}{\rho} \nabla^2 u$$

$$\cdot \left[\frac{dh}{dx} = \frac{\mu}{\rho} \nabla^2 u \right]$$

$$\frac{dh}{dx} = -i$$

$$\hookrightarrow \cdot \left[\nabla^2 u = - \frac{\rho i}{\mu} \right]$$

RELAZIONI nei CONDOTTI

$$\tau = \gamma R i$$

$$i = - \frac{dh}{ds}$$

condotti
permanenti

es (R) →  [sez. circolare]

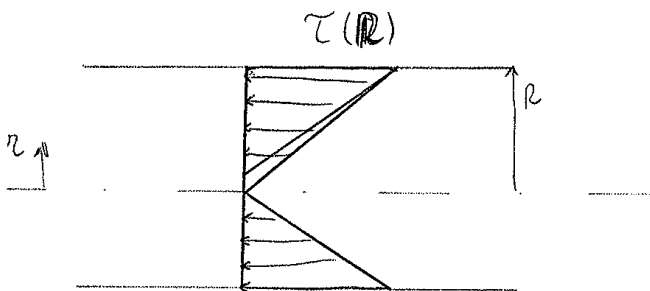
$$\Omega = \frac{\pi d^2}{4}$$

$$B = \pi d$$

$$R = \frac{\Omega}{B} = \frac{d}{4} = \frac{r}{2}$$

$$R = \frac{\Omega}{B}$$

↗ area bagnata
↘ Raggio idraulico
↘ costante bagnata



$$[0 < r \leq R]$$

$$\tau_{max} = \gamma \frac{r}{2} \cdot i$$

$$\tau = \tau_{max} \frac{r}{R}$$

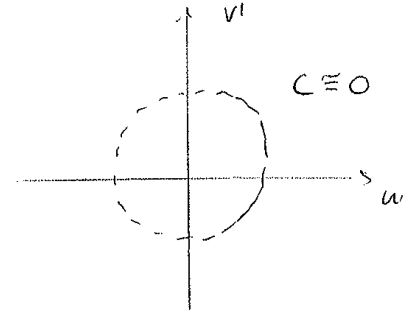
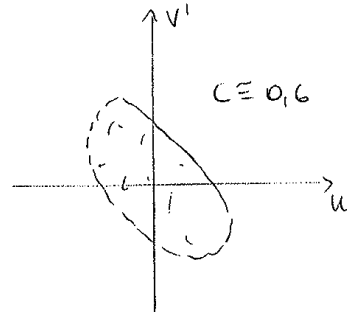
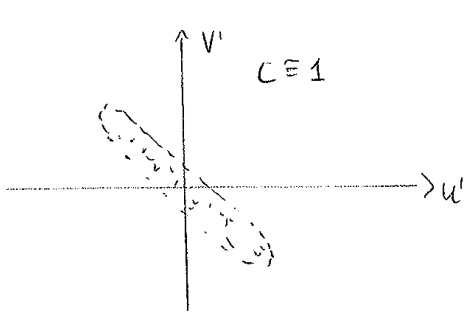
$$\tau = \tau(\gamma, \rho, \bar{u}_m, r_g, l, \epsilon)$$

↙ fattore di forma
↘ rugosità

$$i = \frac{\bar{u}_m^2}{2g} \cdot \frac{f(Re, r_s)}{d}$$

↗ $r_s = \epsilon/d$ "scabrezza relativa"

$$C = \frac{\overline{u'v'}}{\sqrt{\overline{u'^2}} \cdot \sqrt{\overline{v'^2}}} \quad \text{coeff. di correlazione}$$



$$\bar{u} = \frac{1}{T} \int_0^T u \, dt$$

$$\bar{u}' = \frac{1}{T} \int_0^T u' \, dt$$

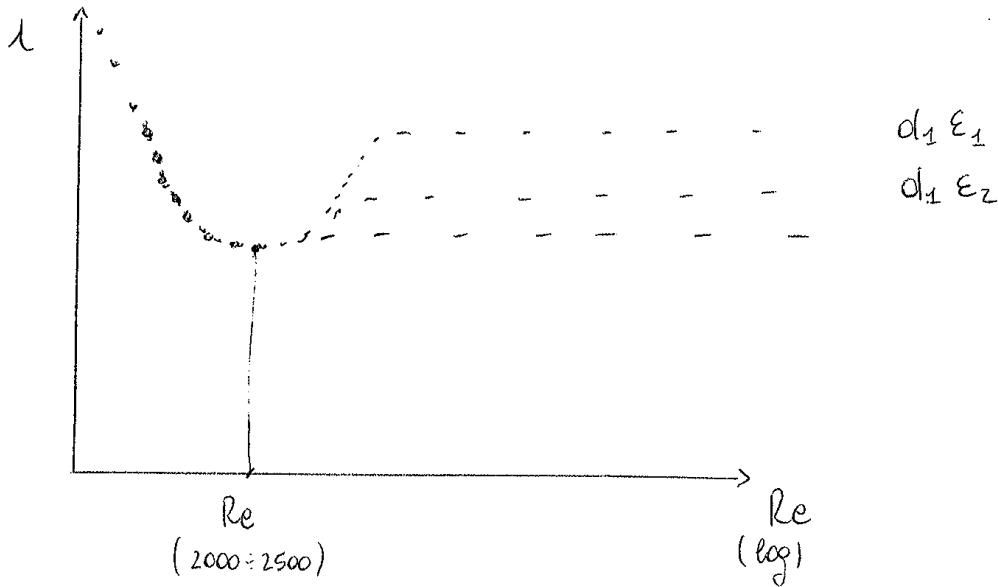
$$u' = A \sin(\omega t) \quad \rightarrow \quad \bar{u}' = 0$$

$$v' = B \sin(\omega t) \quad \rightarrow \quad \bar{v}' = 0$$

$$\overline{u'v'} = AB \sin^2(\omega t) \neq 0$$

$$\bar{u'^2} \neq 0 \quad ; \quad \bar{v'^2} \neq 0$$

$$\mathcal{L}_{\text{TURB}} = \rho \overline{u'v'}$$



Per valori del numero di Re piccoli fino (2000 ≈ 3000) i valori di λ ottenuti sono coincidenti per tutti i casi e sono indipendenti da r_s

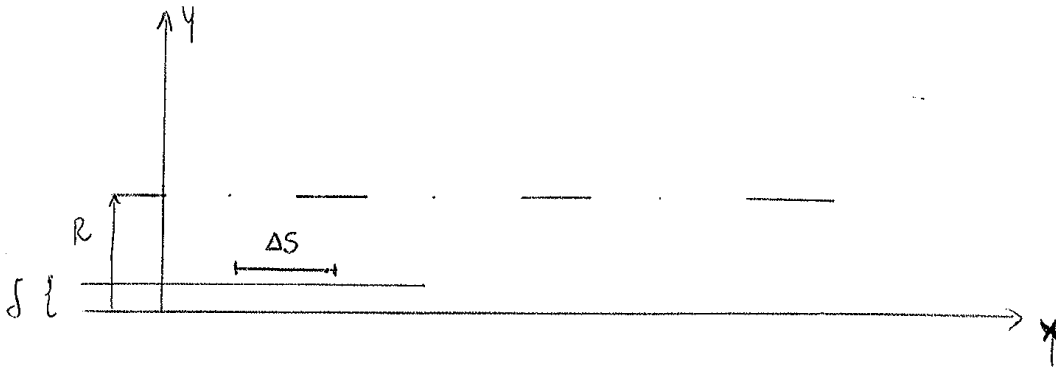
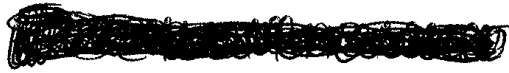
$\hookrightarrow \lambda = \lambda(Re)$ MOTO LAMINARE

$$i = \frac{\bar{u}_m^2}{2g} \cdot \frac{\lambda(Re)}{d} \rightarrow \lambda(Re) = \frac{2gd_i}{\bar{u}_m^2} = \frac{2gd_i}{\bar{u}_m \cdot \frac{8\eta R^2}{d}} \rightarrow \bar{u}_m$$

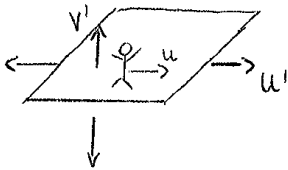
$$\lambda(Re) = \frac{64\eta}{\bar{u}_m \rho d} = \frac{64}{Re}$$

Per valori del numero Re elevati (circa $> 10^5$), dove il moto turbolento è completamente sviluppato, il valore di λ di una singola curva (l'andamento) rimane costante (anziché rettilineo). Cioè l' λ non dipende da Re

$\lambda = \lambda(r_s)$ MOTO TURBOLENTO



Le grandezze osservabili sono le stesse che trovo spostandomi da piano all'altro \rightarrow esse sono indipend. da z



$$F = ma \times \hat{i}$$

$$F_x = ma_x$$

$$F = \rho \Delta S v' dt \frac{du'}{dt}$$

$$F dt = \rho \Delta S v' dt u'$$

$$\tau_i = \frac{F}{\Delta S} = \rho v' u' = \rho \overline{v' u'} = \rho \overline{u'^2}$$

$$\downarrow$$

$$|u'| \Delta S = |v'| \Delta S \rightarrow |u'| = |v'|$$

Teorema di Prandtl:

$$u'_{\text{eff}} = \sqrt{\overline{u'^2}} = m y^\alpha \left(\frac{du}{dy} \right)^\beta$$

$$m y^\alpha \left(\frac{du}{dy} \right)^\beta = \frac{\tau}{\rho} \Rightarrow \alpha = \beta = 2$$

$$\frac{\tau_0}{\rho} = m y^2 \left(\frac{du}{dy} \right)^2 \quad \left[\tau_0 \text{ in prossimità della } \text{parete} \right] \rightarrow \sqrt{\frac{\tau_0}{\rho}} = \sqrt{m} y \frac{du}{dy}$$

fine dello spessore δ

Eq. INDEFINITA delle DINAMICA per fluidi NEWTONIANI

• fluidi newtoniani : $\tau = \mu \frac{du}{dy}$

$$\rho(\vec{F} - \vec{A}) = \text{div } \underline{\Phi} \quad \left(\frac{\partial \Phi_x}{\partial x} + \frac{\partial \Phi_y}{\partial y} + \frac{\partial \Phi_z}{\partial z} \right)$$

↓ (scritte equivalenti)

$$\rho(\vec{F} - \vec{A}) = \text{grad}(\rho) - \underbrace{\mu \nabla^2 \vec{u} - \frac{1}{3} \mu \text{grad}(\text{div } \vec{u})}_{\text{ho esplicitato i termini dovuti alla viscosità del fluido}}$$

ho esplicitato i termini dovuti alla viscosità del fluido

• Se aggiungiamo l'ipotesi di fluido incomprimibile ($\rho = \text{cost}$)
 $\rho(x, y, z, t)$
 $\hookrightarrow \text{div } \vec{u} = 0$

$$\rho(\vec{F} - \vec{A}) = \text{grad}(\rho) - \mu \nabla^2 \vec{u} \quad \text{EQ. NAVIER-STOKES}$$

Integriamo l'eq. di Navier-Stokes in dV :

Scatta con la notazione

(Integrando in dV) :

$$\underbrace{\rho(\vec{F} - \vec{A})}_{\vec{P}} = \underbrace{\frac{\partial \Phi_x}{\partial x} + \frac{\partial \Phi_y}{\partial y} + \frac{\partial \Phi_z}{\partial z}}_{\vec{\Pi}} \Rightarrow \vec{P} + \vec{I} + \vec{M} + \vec{\Pi} = 0$$

\hookrightarrow forze superficiali dovute dagli sforzi σ e τ

Navier - Stokes :

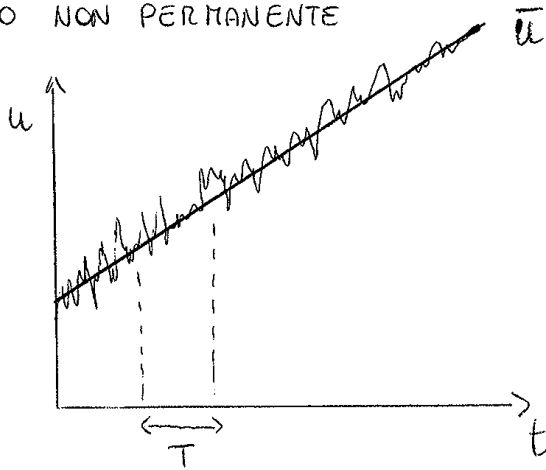
$$\rho(\vec{F} - \vec{A}) = \text{grad}(\rho) - \mu \nabla^2 \vec{u}$$

(Integrando in dV)

$$\vec{P} + \vec{I} + \vec{M} + \underbrace{\vec{\Pi}_p}_{\downarrow} + \int_V \mu \nabla^2 \vec{u} = 0$$

\hookrightarrow dovuti solo dalla pressione \rightarrow

MOTO NON PERMANENTE



$$u = \bar{u} + u'$$

↳ non dev'essere troppo elevato ho perdo l'informazione di \bar{u} (potrei vederla orizzontale)

Nei tubi [$T = 1 \div 0,1 \text{ s}$]

$$\begin{cases} u = \bar{u} + u' \\ v = \bar{v} + v' \\ w = \bar{w} + w' \end{cases}$$

Anche la pressione puo' essere definita come

$$p = \bar{p} + p'$$

$$\bar{u}' = 0$$

$$\text{↳ } \bar{u}' = \frac{1}{T} \int_0^T u' dt = \frac{1}{T} \int_0^T (u - \bar{u}) dt = \frac{1}{T} \int_0^T u dt - \frac{1}{T} \int_0^T \bar{u} dt = \bar{u} - \frac{1}{T} \bar{u} \cdot T = 0$$

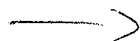
$$\bar{u'^2} = \frac{1}{T} \int_0^T u'^2 dt > 0$$

→ definisce l'intensità della turbolenza I

$$I_x = \frac{\sqrt{\bar{u'^2}}}{\bar{u}} ; \quad I_y = \frac{\sqrt{\bar{v'^2}}}{\bar{v}}$$

Es. $u' = \sin t$ ($\bar{u}' = 0$)

$u'^2 = \sin^2 t$ ($\bar{u'^2} \neq 0$)



$$m (v_f - v_i) = \int v' dA dt (u_B - u_A)$$

$$u' = u_A - u_B$$

$$= \int v' dA dt (-u') = - \int u' v' dA dt$$

$$[\vec{F} dt = m d\vec{v} \quad \text{th. dell'impulso}]$$

$$\vec{F} = - \frac{\int u' v' dA dt}{dt} = - \int u' v' dA \rightarrow \text{Sforzo turbolento}$$

$$\boxed{\frac{\vec{F}}{dA} = - \int u' v'}$$

[Sforzo dovuto alla turbolenza]

Nel moto turbolento l'equilibrio non è più istantaneo, ma vale in un tempo caratteristico T [nelle applicazioni praticamente istantaneo]

$$\left\{ \begin{array}{l} \vec{p} + \vec{I} + \vec{M} + \vec{\pi} = 0 \quad \textcircled{1} \end{array} \right. \rightarrow \frac{1}{T} \int_0^T \textcircled{1} = 0$$

$$\left\{ \begin{array}{l} \text{oppure} \\ \vec{p} + \vec{I} + \vec{M} + \vec{\pi}_p - \int_L \frac{d\vec{u}}{dm} dA = 0 \quad \textcircled{2} \end{array} \right. \rightarrow \frac{1}{T} \int_0^T \textcircled{2} = 0$$

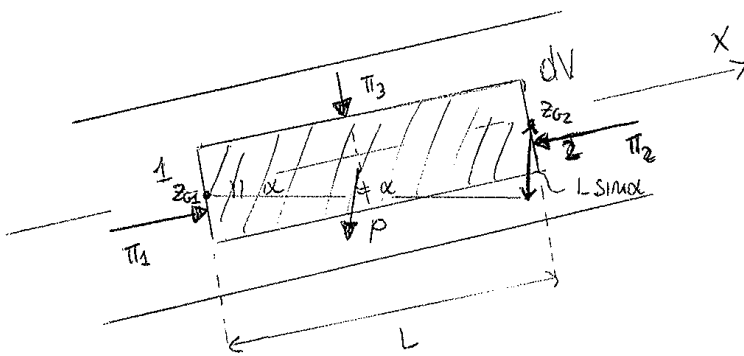
→

$$\vec{P} + \vec{\Pi}_p + \vec{I}\vec{a} + \vec{M}\vec{u} + \underbrace{\int_A \rho \vec{u} \vec{u}_m dA - \int_A \gamma \frac{d\vec{u}}{dm} dA}_{\text{termini che rappresentano le resistenze al moto (si oppongono)}}$$

termini che rappresentano le resistenze al moto (si oppongono)

Forza di TRASCINAMENTO della corrente nel volume V in movimento

2) MOTO UNIFORME



$$A_1 = A_2 = A$$

Se moto uniforme $\vec{I} = 0$
 $\vec{M} = 0$

FORZA di TRASCINAMENTO

$$\vec{T} = \vec{P} + \vec{\Pi}_p = \vec{P} + \vec{\Pi}_1 + \vec{\Pi}_2 + \vec{\Pi}_3$$

$$\vec{T} = \int_A \gamma \frac{d\vec{u}}{dm} dA - \int_A \rho \vec{u} \vec{u}_m dA \Rightarrow \vec{T} \parallel \vec{x}$$

$$\vec{x}) T = -\vec{P} \sin \alpha + p_1 A_1 + p_2 A_2 = -\gamma A L \sin \alpha + p_1 A + p_2 A$$

$$T = \gamma A \left[z_{G1} - z_{G2} + \frac{p_1}{\gamma} - \frac{p_2}{\gamma} \right] \quad (z_{G2} - z_{G1})$$

$$T = \gamma A [h_1 - h_2]$$

$$T = \gamma A \left(\frac{h_1 - h_2}{L} \right) \cdot L = \gamma V i$$

A = area di base

(moto uniforme)

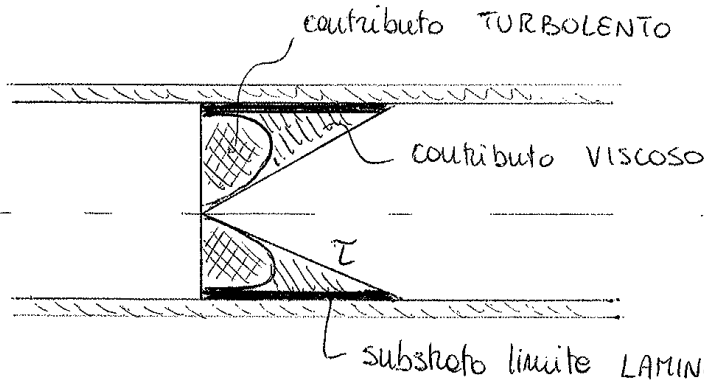
$\gamma \frac{d\vec{u}}{dm} = 0$ il contributo sulle sezioni trasversali $\vec{e} = 0$



$$T = \gamma V i = \int_A \gamma \frac{d\vec{u}}{dm} dA - \int_A \rho \vec{u} \vec{u}_m dA$$

↓
solo sulla sup. laterale

(i contributi sulle sez. trasversali non sono nulli, ma la loro somma è 0)



$$\tau = \rho \bar{u}'v' - \eta \frac{d\bar{u}}{dr}$$

substrato limite LAMINARE: in questa zona non c'è sforzo turbolento perché alla parete $v' = 0$

Profilo di velocità: moto uniforme (condotta circolare)

$$\frac{d\bar{u}}{dr} = -\frac{\delta}{\eta} \frac{r}{2} + \int \frac{\rho}{\eta} \bar{u}'v'$$

Integriamo...

$$\bar{u} = -\frac{\delta}{\eta} \frac{r^2}{4} + \int_0^r \frac{\rho}{\eta} \bar{u}'v' dr + c_1$$

cond. contorno
[$u = 0$ se $r = R$] *

$$* c_1 = \frac{\delta}{\eta} \frac{R^2}{4} - \int_0^{D/2} \frac{\rho \bar{u}'v'}{\eta} dr$$

$$\bar{u} = \frac{\delta}{\eta} \frac{r}{4} \left(\frac{R^2}{4} - \frac{r^2}{4} \right) - \int_0^{D/2} \frac{\rho}{\eta} \bar{u}'v' dr$$

MOTO TURBOLENTO

Se faccio gli stessi passi con $u' = v' = 0$ e con $\bar{u} = u$ posso ottenere l'espressione per il moto laminare

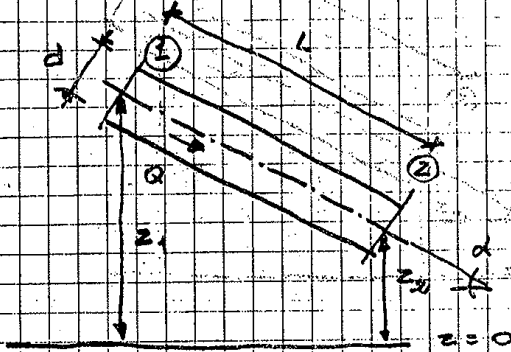
$$u = \frac{\delta}{\eta} \frac{r}{4} \left(\frac{R^2}{4} - \frac{r^2}{4} \right)$$

MOTO LAMINARE

→

ESERCIZIO N° 1

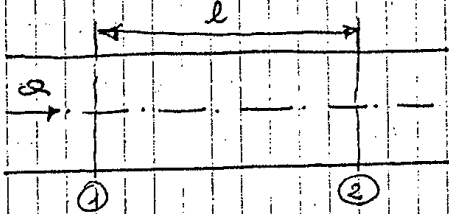
La portata Q di un olio avente viscosità ν permea in regime laminare una condotta rettilinea di diametro d .



Trovare l'angolo che la condotta deve formare con la orizzontale affinché la pressione si mantenga costante lungo l'asse.

$\nu = 0,0009 \text{ m}^2/\text{s}$
 $d = 15 \text{ mm}$ $Q = 45 \text{ cm}^3/\text{sec}$
 $\gamma = 860 \text{ kg/m}^3$

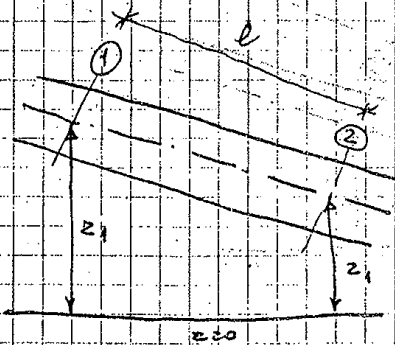
ESERCIZIO N° 2



$D = 0,8 \text{ m}$
 $\gamma_0 = 800 \text{ kgf/m}^3$ $\nu = 250 \times 10^{-6} \text{ m}^2/\text{s}$
 $h_1 - h_2 = 0,83 \text{ m}$
 $l = 1000 \text{ m}$

Un condotto cilindrico di diametro D è percorso in modo laminare da un liquido di peso specifico γ_0 e viscosità ν .
 Tra le sezioni ① e ② distanti l la differenza di carichi piezometrici è $h_1 - h_2$.
 Calcolare la portata, la v_{max} alla parete e la forza totale resistente tra le sezioni ① e ②.

ESERCIZIO N° 3



Calcolare la differenza tra i carichi piezometrici necessari al movimento della portata Q di acqua a 20°C nel tratto di distribuzione di diametro d nei due seguenti casi:

- 1) $d = 0,15 \text{ m}$ $Q = 0,015 \text{ m}^3/\text{s}$ $l = 100 \text{ m}$
 $E_s = 1,5 \times 10^{-4} \text{ m}$ $\nu = 1,015 \times 10^{-6} \text{ m}^2/\text{s}$
- 2) $d = 0,45 \text{ m}$ $E_s = 0,002 \text{ m}$ $Q = 0,262 \text{ m}^3/\text{s}$
 $l = 1000 \text{ m}$ $\nu = 1,015 \times 10^{-6} \text{ m}^2/\text{s}$